

Sự lan truyền tia và sóng trong môi trường quang học

#### 4.1. GIỚI THIỆU

Trước khi đi vào thảo luận chi tiết về bộ công cụ quang học, chương 5, trong chương này chúng ta nghiên cứu một vài khía cạnh quang hình học và quang học sóng mà không thể bỏ qua trong các tài liệu quang học cổ điển, chúng là các kỹ thuật cận tiếp tia gần trục (the paraxial-ray approximation), và truyền sóng, trong phép gần tiếp sóng gần trục (paraxial-wave approximation), khảo sát sự lan truyền của chùm Gauss. Thêm vào đó, hiện tượng giao thoa bề mặt, chẳng hạn như trong các màng mỏng trong môi trường siêu dẫn trong giao thoa kế Fabry-Perot, cũng sẽ được xem xét.

#### 4.2. CÔNG THỨC MA TRẬN A QUANG HÌNH HỌC

Xét một tia sáng hoặc là truyền qua hoặc phản xạ từ một yếu tố quang học có tính chất đồng nhất hoặc không đồng nhất về trục (ví dụ, thấu kính hoặc gương). Giả sử là trục quang học của yếu tố này (chẳng hạn, trục chính qua các tâm của các bề mặt cong của hai mặt của thấu kính). Giả sử rằng tia sáng đang di chuyển theo hướng  $z$  trong một phần của trục quang học. Vectơ  $\vec{r}_1$  tại một phần đầu vào cho trục  $z = z_1$  của yếu tố quang học (Hình 4.1) có các thành phần hai tham số, bán kính đường đi chuyển  $r_1(z_1)$  so với trục  $z$  và đường đi chuyển góc  $\theta_1$ . Tương tự, vectơ tia  $\vec{r}_2$  tại một phần đầu ra cho trục  $z = z_2$  có các thành phần hai bán kính đường đi chuyển của nó  $r_2(z_2)$ , và đường đi chuyển góc  $\theta_2$ . Chú ý rằng trục  $z$  của chúng ta chỉ hướng nhau cho các tia đi vào và đi ra và chúng ta sẽ thấy trong hình 4.1. **Quy ước về dấu góc là: góc là dương nếu vectơ pháp tuyến cùng chiều kim đồng hồ làm cho nó trùng với hướng đường đi của trục  $z$ . Vì thế, ví dụ trong hình 4.1  $\theta_1$  là dương, trong khi  $\theta_2$  là âm.**

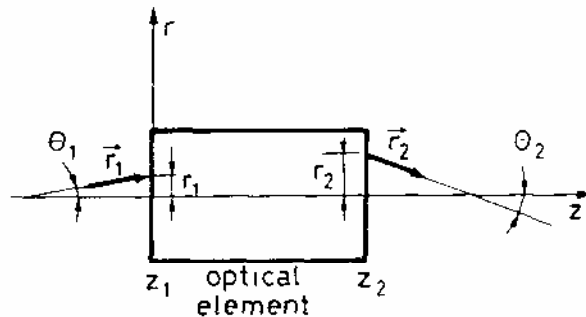


FIG. 4.1. Matrix formulation for the propagation of a ray through a general optical element.

Trong phép gần tiếp tia gần trục đường đi chuyển góc  $\theta$  có giả sử là nhỏ phép gần tiếp này có hiệu dụng,  $\sin\theta \cong \tan\theta \cong \theta$ . Trong trường hợp này, các biến đầu ra  $(r_2, \theta_2)$  và các biến đầu vào  $(r_1, \theta_1)$  quan hệ với nhau qua phép biến đổi tuyến tính. Nếu chúng ta đặt  $\theta_1 \cong (dr_1/dz_1)_{z_1} = r'_1$  và  $\theta_2 \cong (dr_2/dz_2)_{z_2} = r'_2$ , chúng ta có thể viết

$$r_2 = Ar_1 + Br'_1 \quad (4.2.1a)$$

$$r'_2 = Cr_1 + Dr'_1 \quad (4.2.1b)$$

Ây, A, B, C, và D là các hằng số đặc trưng cho các yếu tố quang học đã cho. Do đó có thể viết (4.2.1) dưới dạng ma trận như sau:

$$\begin{pmatrix} r_2 \\ r'_2 \end{pmatrix} = \begin{pmatrix} A & B \\ C & D \end{pmatrix} \begin{pmatrix} r_1 \\ r'_1 \end{pmatrix} \quad (4.2.2)$$

Ây ma trận ABCD hoàn toàn đặc trưng cho yếu tố quang học đã cho trong phép gần đúng tia gần trục.

Như là ví dụ đầu tiên và đơn giản nhất, chúng ta xét sự truyền của tia trong không gian tự do dọc theo chiều dài  $\Delta z = L$  của vật liu có chiết suất  $n$  (hình 4.2a). Nếu các mặt phẳng vào và ra nằm ngay bên ngoài môi trường, môi trường có chiết suất bằng 1, dùng định luật Snell trong phép gần đúng tia gần trục chúng ta có:

$$r_2 = r_1 + \frac{Lr'_1}{n} \quad (4.2.3a)$$

$$r'_2 = r'_1 \quad (4.2.3b)$$

Do đó, ma trận ABCD tương ứng là:

$$\begin{pmatrix} 1 & L/n \\ 0 & 1 \end{pmatrix} \quad (4.2.4)$$

Trong ví dụ tiếp theo chúng ta xét một tia sáng truyền qua một thấu kính có tiêu cự  $f$  ( $f$  là đường kính của thấu kính hội tụ). Trong thấu kính mỏng, hiển nhiên chúng ta có (Hình 4.2b)

$$r_2 = r_1 \quad (4.2.5a)$$

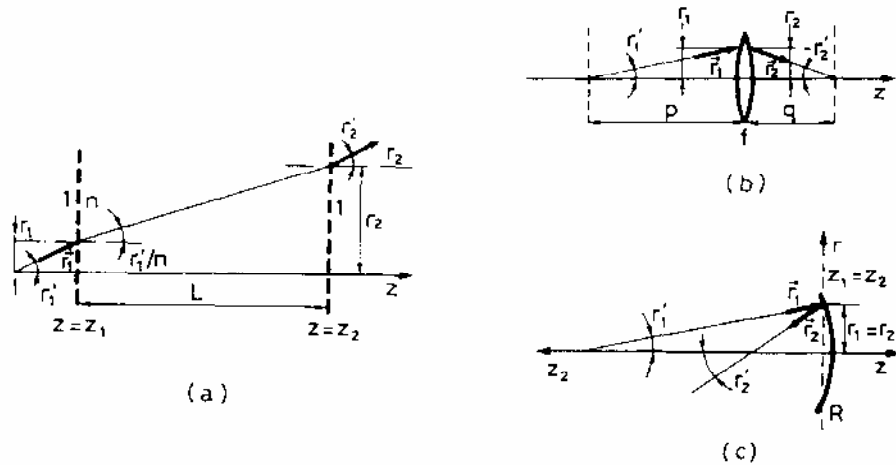


FIG. 4.2. Calculation of the ABCD matrix for (a) free-space propagation, (b) propagation through a thin lens, (c) reflection from a spherical mirror.

Hình 4.2 có thể suy ra từ một số luật hình học của quang hình học \$(1/p) + (1/q) = (1/f)\$, dùng các công thức \$p = r\_1/r\_1'\$ và \$q = -r\_2/r\_2'\$. Trong đó, bằng cách dùng phương trình (4.25a) chúng ta thu được

$$r_2' = -\left(\frac{1}{f}\right)r_1 + r_1' \quad (4.2.5b)$$

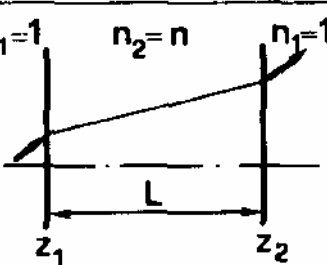
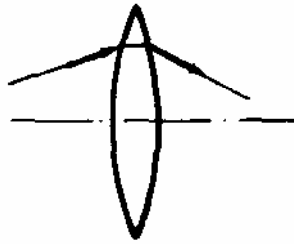
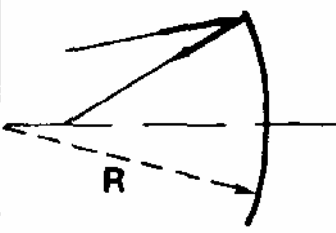
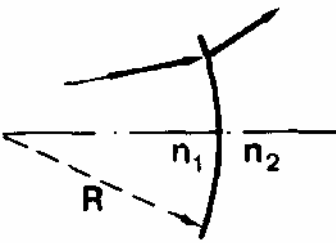
Theo các phương trình (4.25), trong trường hợp này ma trận ABCD là:

$$\begin{vmatrix} 1 & 0 \\ -1/f & 1 \end{vmatrix} \quad (4.2.6)$$

Trong ví dụ thứ ba, chúng ta xét sự phản xạ của tia qua gương cầu bán kính cong \$R\$ (nếu gương lõm \$R\$ là dương). Trong trường hợp này các mặt phẳng \$z\_1, z\_2\$ chọn trùng nhau và cắt ngay trục gương, và hướng đi của tia trước và sau khi phản xạ ngược nhau cho các tia tới và tia phản xạ (Hình 4.2c). Hướng đi của tia trước và sau là trái ngược nhau về vectơ tới và tia phản xạ ngược nhau về vectơ phản xạ. Nếu tia tới có góc là dương nếu vectơ \$r\_1\$ phản xạ cùng chiều kim đồng hồ thì hướng đi của tia phản xạ, trong khi tia phản xạ có góc là dương nếu vectơ \$r\_2\$ phản xạ ngược chiều kim đồng hồ thì hướng đi của tia phản xạ ngược chiều kim đồng hồ \$z\_2\$ của trục \$z\$; đây trong hình 4.2c \$r\_1'\$ là dương trong khi \$r\_2'\$ là âm. Theo quy tắc này, ma trận tia của gương cầu lõm có bán kính \$R\$, tiêu cự \$f = R/2\$ có thể biểu diễn giống như thấu kính đồng tiêu \$f = R/2\$. Do đó, ma trận tia bằng:

$$\begin{vmatrix} 1 & 0 \\ -2/R & 1 \end{vmatrix} \quad (4.2.7)$$

TABLE 4.1. Ray matrices for some common cases

Free-space propagation		$\begin{bmatrix} 1 & L/n \\ 0 & 1 \end{bmatrix}$
Thin lens		$\begin{bmatrix} 1 & 0 \\ -1/f & 1 \end{bmatrix}$
Spherical mirror		$\begin{bmatrix} 1 & 0 \\ -2/R & 1 \end{bmatrix}$
Spherical dielectric interface		$\begin{bmatrix} 1 & 0 \\ \frac{n_2 - n_1}{n_2} & \frac{1}{R} \\ & \frac{n_1}{n_2} \end{bmatrix}$

Bảng 4.1 liệt kê một số ma trận truyền tia cơ bản trong quang học mà chúng ta đã biết. Chú ý rằng nếu thay thế các ma trận ABCD bằng 1, nghĩa là:

$$AD - BC = 1 \quad (4.2.8)$$

minh là các mặt phẳng vào và ra nằm trong môi trường có chỉ số khúc xạ nhau. Quy tắc, hiện này ứng cho 3 trường hợp đầu tiên xét trong bảng 4.1.

Một khi ã bi t c ma tr n c a các y u t quang h c c b n, ng i ta có th bi t c ma tr n c a các y u t quang h c ph c t p h n b ng cách chia nh nó thành nh ng y u t quang h c c b n này. Gi s r ng, trong m t y u t quang h c ã cho, chúng ta có th xét m t m t ph ng gi a có t a  $z_i$  (Hình 4.3) v i i u ki n là hai ma tr n ABCD, gi a m t ph ng  $z = z_1$  và  $z = z_i$  và các m t ph ng  $z = z_i$  và  $z = z_2$  ã bi t. N u bây gi chúng ta t  $r_i$  và  $r'_i$  là t a c a vecto tia t i m t ph ng  $z = z_i$ , d ã nhiên chúng ta có th vi t:

$$\begin{vmatrix} r_i \\ r'_i \end{vmatrix} = \begin{vmatrix} A_1 & B_1 \\ C_1 & D_1 \end{vmatrix} \begin{vmatrix} r_1 \\ r'_1 \end{vmatrix} \quad (4.2.9)$$

$$\begin{vmatrix} r_2 \\ r'_2 \end{vmatrix} = \begin{vmatrix} A_2 & B_2 \\ C_2 & D_2 \end{vmatrix} \begin{vmatrix} r_i \\ r'_i \end{vmatrix} \quad (4.2.10)$$

N u chúng ta th p h ng trình (4.2.9) cho vecto  $r_i$  vào v p h i c a p h ng trình (4.2.10), chúng ta thu c:

$$\begin{vmatrix} r_2 \\ r'_2 \end{vmatrix} = \begin{vmatrix} A_2 & B_2 \\ C_2 & D_2 \end{vmatrix} \begin{vmatrix} A_1 & B_1 \\ C_1 & D_1 \end{vmatrix} \begin{vmatrix} r_1 \\ r'_1 \end{vmatrix} \quad (4.2.11)$$

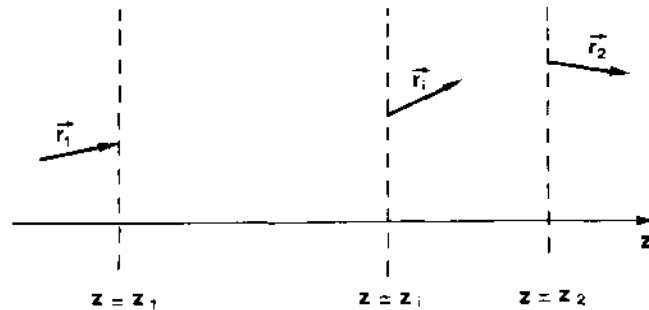


FIG. 4.3. Ray propagation through three distinct planes when the two matrices between planes  $z = z_1$  and  $z = z_i$  and between  $z = z_i$  and  $z = z_2$  are known.

Ma tr n ABCD toàn p h n có th thu c b ng cách nhân ma tr n ABCD c a các thành p h n c b n. Tuy nhiên, chú ý r ng, th t xu t h i n c a ma tr n trong tích ng c v i th t c a các y u t quang h c t ã ng ng mà ánh sáng truy n qua.

Và nh là m t ví d u tiên và có l h i t m th ng s d ã ng nh ng k t qu có tr c, chúng ta xét s lan truy n t môi tr ã ng có chi t su t n, ã dài  $L_1$  sang môi tru ã ng có chi t su t n, không gian t ã dài  $L_2$ . Theo p h ng trình (4.2.4), p h ng trình ma tr n toàn p h n có th c vi t là:

$$\begin{vmatrix} r_2 \\ r'_2 \end{vmatrix} = \begin{vmatrix} 1 & L_2/n \\ 0 & 1 \end{vmatrix} \begin{vmatrix} 1 & L_1/n \\ 0 & 1 \end{vmatrix} \begin{vmatrix} r_1 \\ r'_1 \end{vmatrix} \quad (4.2.12)$$

Dùng quy tắc nhân ma trận ã bi t, tích của hai ma trận vuông là ma trận toàn phần:

$$\begin{vmatrix} 1 & (L_1 + L_2)/n \\ 0 & 1 \end{vmatrix} \quad (4.2.13)$$

Tính toán này cho thấy một kết quả hiển nhiên là số lần truyền qua các môi trường có dài  $L_1$  và  $L_2$  tương đương với số lần truyền qua môi trường có dài tổng cộng là  $L = L_1 + L_2$ .

Một ví dụ ít thú vị hơn và hữu dụng hơn liên quan đến số lần truyền qua dài  $L$  (trong môi trường chiết suất  $n=1$ ) rời rạc pha xạ tuyến tính có bán kính cong  $R$ . Theo phương trình (4.24), (4.2.7) và 4.2.11), ma trận toàn phần ABCD là:

$$\begin{vmatrix} A & B \\ C & D \end{vmatrix} = \begin{vmatrix} 1 & 0 \\ -(2/R) & 1 \end{vmatrix} \begin{vmatrix} 1 & L \\ 0 & 1 \end{vmatrix} = \begin{vmatrix} 1 & L \\ -(2/R) & 1 - (2L/R) \end{vmatrix} \quad (4.2.14)$$

Chú ý rằng nh thức của các ma trận (4.2.13) và ma trận (4.2.13) là duy nhất, và tính chất này ứng cho sự ghép nối các yếu tố quang học bất kỳ, bởi vì nh thức của tích các ma trận bằng tích của các nh thức của chúng.

Bây giờ, chúng ta tập trung vào câu hỏi tìm các yếu tố ma trận tia  $A'$ ,  $B'$ ,  $C'$ ,  $D'$  của số truyền ngược qua mặt phẳng quang học theo các yếu tố ma trận cho trước  $A$ ,  $B$ ,  $C$ ,  $D$  của số truyền tới. Nhìn vào hình 4.1, nếu chúng ta chọn  $-r_2$  là vectơ vào, nghĩa là nếu chúng ta ngược chiều truyền của vectơ  $r_2$  thì vectơ ra phải là  $-r_1$ .

Trong số truyền ngược, chúng ta dùng quy tắc vẽ đường tia sáng có pha xạ tuyến tính (hình 4.2c), cụ thể là: trục  $z$  ngược chiều, trong khi trục  $r$  vẫn giữ nguyên, và góc giữa vectơ  $r$  và trục  $z$  là độ lệch của vectơ  $r$  phải quay ngược chiều kim đồng hồ trùng với trục  $z$ . Theo quy tắc này, các tia  $-r_1$  và  $-r_2$  có một biểu thức là  $(r_1, -r_1)$  và  $(r_2, -r_2)$  tương ứng. Vì thế ta có:

$$\begin{vmatrix} r_1 \\ -r_1' \end{vmatrix} = \begin{vmatrix} A' & B' \\ C' & D' \end{vmatrix} \begin{vmatrix} r_2 \\ -r_2' \end{vmatrix} \quad (4.2.15)$$

Phương trình (4.2.15) chúng ta có thể thu được  $r_2$  và  $r_2'$  như hàm theo  $r_1$  và  $r_1'$ . Bởi vì nh thức của ma trận  $A'B'C'D'$  có nghịch đảo, chúng ta có:

$$r_2 = D'r_1 + B'r_1' \quad (4.2.16a)$$

$$r_2' = C'r_1 + A'r_1' \quad (4.2.16b)$$

Và so sánh giữa (4.2.16) và (4.2.1) thì ta thấy rằng  $A'=D$ ,  $B'=B$ ,  $C'=C$ , và  $D'=A$ , vì thế toàn bộ ma trận  $A'B'C'D'$  là:

$$\begin{vmatrix} A' & B' \\ C' & D' \end{vmatrix} = \begin{vmatrix} D & B \\ C & A \end{vmatrix} \quad (4.2.17)$$

Vì thế phương trình (4.2.17) cho vectơ trạng thái truyền sóng có thể suy ra từ ma trận truyền sóng tối thiểu bằng cách hóa véc-tơ các yếu tố ma trận A và D.

Các công thức ma trận không chỉ hữu dụng cho việc mô tả tính chất của tia khi nó đi qua hệ thống quang học, mà nó còn có thể dùng mô tả sự truyền của sóng cầu. Giả sử xét một sóng cầu xuất phát từ điểm  $P_1$  của hình 4.4 và truyền theo hướng z dọc trục. Sau khi truyền qua một yếu tố ma trận mô tả bởi ma trận ABCD, nói chung sóng này sẽ chuyển thành sóng cầu mới có tâm tại  $P_2$ . Bây giờ xét hai tia liên hệ  $r_1$  và  $r_2$  của hai sóng, thì nó có nghĩa là yếu tố quang học chuyển tia tới  $r_1$  thành tia đi ra  $r_2$ . Bán kính cong  $R_1$  và  $R_2$  của hai sóng tới mặt phẳng vào  $z_1$  và mặt phẳng ra  $z_2$  của yếu tố quang học có thể viết là

$$R_1 = \frac{r_1}{r'_1} \quad (4.2.18a)$$

$$R_2 = \frac{r_2}{r'_2} \quad (4.2.18b)$$

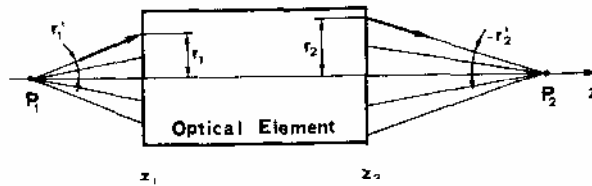


FIG. 4.4. Propagation of a spherical wave emitted from point  $P_1$  through a general optical element described by a given ABCD matrix.

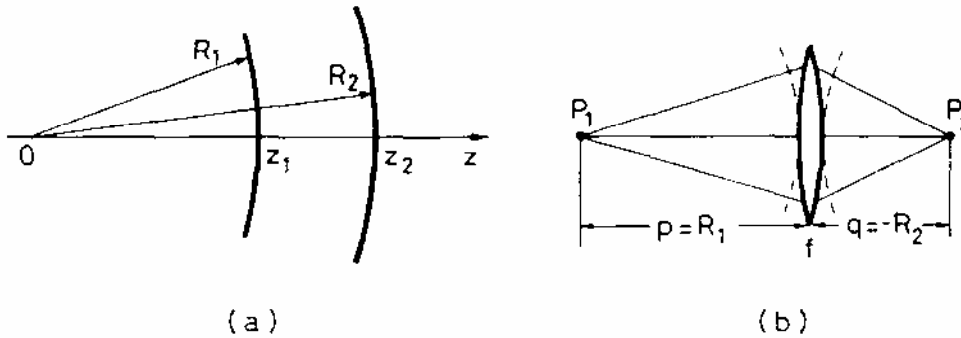


FIG. 4.5. Propagation of a spherical wave (a) through free space and (b) through a thin lens.

Chú ý rằng phương trình, trong các phương trình (4.2.18), chúng ta đã dùng quy ước về dấu là: R là đường kính của vòng cong nằm phía trái mặt tới sóng. Trong phương trình (4.2.1) và (4.2.18) chúng ta thu được

$$R_2 = \frac{AR_1 + B}{CR_1 + D} \quad (4.2.19)$$

Phương trình (4.2.19) là một kết quả rất quan trọng, bởi vì nó thiết lập mối quan hệ, theo những số hạng nguyên, bán kính cong  $R_2$  của sóng ra với bán kính cong  $R_1$  của sóng vào qua các yếu tố ma trận ABCD của thành phần quang học cho trước.

Như là một ví dụ điển hình, xét sóng lan truyền trong không gian tự do của sóng cầu gần như điểm có tại  $z_1$  và  $z_2$  trong hình 4.5a. Từ phương trình (4.2.4), với  $n = 1$  và  $L = z_2 - z_1$ , và phương trình (4.2.19) chúng ta thu được  $R_2 = R_1 + (z_2 - z_1)$ , tất nhiên nó là một kết quả quá hiển nhiên. Tiếp theo xét sóng lan truyền của sóng cầu qua một thấu kính mỏng (hình 4.5b). Từ các phương trình (4.2.6) và (4.2.19), chúng ta thu được:

$$\frac{1}{R_2} = \frac{1}{R_1} - \frac{1}{f} \quad (4.2.20)$$

Nó tương đương với luật quang hình học quen thuộc  $p^{-1} + q^{-1} = f^{-1}$ .

Mặc dù có hai ví dụ trong hình 4.5 là những ứng dụng của phương trình (4.2.19), sự hiểu biết các phương trình này có thể hữu ích khi khảo sát các hệ quang học phức tạp hơn. Để tìm kiếm các thấu kính và không gian gần chúng. Trong trường hợp này, ma trận toàn phần ABCD bằng tích của các ma trận của mỗi thành phần quang học và bán kính cong của sóng ra có thể tính theo phương trình (4.2.19).